



همایش ملی توسعه فناوری نانو

۱۶ اسفند ۱۳۹۶ - دانشگاه آزاد اسلامی واحد علی آباد کتول

National Conference on Nanotechnology Development



اولین همایش ملی توسعه فناوری نانو

The 1st National Conference on Nanotechnology Development

پاسخه تعالی

دانشگاه آزاد اسلامی
پردیس علی آباد کتول

مشماره ثبت: ۴۸۹۵۸
کد مقاله: ۲۴۴۴۷

گواهی ارائه مقاله

بدینوسیله گواهی می شود مقاله علمی پژوهشی **کارخانم مکروہ**

با مشارت نویسنده‌گان: **احماد کمانی و غلامحسین حرمی***

با عنوان: بررسی خواص ساختاری و اپتیکی نانو بیودرهاي $Zn_{(1-x)}Cr_xAl_2O_4$ سنتز شده به روش سل-تل اصلاح شده

در اولین همایش ملی توسعه فناوری نانو که در تاریخ ۱۶ اسفند ماه سال ۱۳۹۶ در دانشگاه آزاد اسلامی واحد علی آباد کتول برگزار گردید، پذیرفته و ارائه شده و در مجموعه مقالات به چاپ رسیده است.

توفيق روزافرون شما را در راستاي اعلائي هرچه بيشتر سطح علمي ميهن عزيزمان ايران از خداوند متعال آرزومنديم.

دکتر روح الله سعيبي
دانشگاه آزاد اسلامي
عالی آباد کتول

دکتر مهدى مهام
دانشگاه آزاد اسلامي واحد علی آباد کتول

ISC **CIVILICA** **AEHR** **Scopus** **Scimago** **Scopus**



همایش ملی توسعه فناوری نانو

۱۶ اسفند ۱۳۹۶ - دانشگاه آزاد اسلامی واحد علی آباد کتول

National Conference on Nanotechnology Development

بررسی خواص ساختاری و اپتیکی نانو پودرهای $Zn_{(1-x)}Cr_xAl_2O_4$ سنتز شده به روش سل-ژل اصلاح شده

عرب، مطهره^{۱*}؛ کمپانی، احمد^۲؛ خرمی، غلامحسین^۳

^۱ دانشجوی کارشناسی ارشد، گروه فیزیک دانشکده علوم، دانشگاه فردوسی، مشهد
Motahare.arab@yahoo.com

^۲ استاد گروه فیزیک، دانشکده علوم پایه، دانشگاه فردوسی، مشهد

^۳ استادیار گروه فیزیک، دانشکده علوم پایه، دانشگاه بجنورد، بجنورد

چکیده

نانوپودرهای آلومینات روی به صورت خالص و آلاییده با کروم با فرمول شیمیایی $Zn_{(1-x)}Cr_xAl_2O_4$ ($x=0.05$) به روش سل-ژل اصلاح شده در دمای تکلیس ۸۰ درجه سانتی گراد سنتز شدند. نیترات روی و نیترات آلومینیم به عنوان مواد اولیه و نیترات کروم به عنوان منبع ناخالصی کروم استفاده شدند. همچنین، ژلاتین به عنوان عامل پلیمریزاسیون و آب یون زدایی شده به عنوان حلحل بکار گرفته شدند. نمودارهای پراش پرتو ایکس (XRD) نمونه‌ها نشان دادند که ساختار نمونه‌ها برای همه درصدها ساختار اسپینل مکعبی می‌باشد. اندازه بلورک‌ها با استفاده از فرمول دبای-شر و نمودار اندازه-کرنش محاسبه شد. با استفاده از تصویر میکروسکوپ الکترونی گسیل میدانی متوسط اندازه ذرات نمونه خالص آلومینات روی بدست آمد. از طیف‌سنجی فرابینفش-مرئی (UV-Vis) برای بررسی خواص اپتیکی نمونه‌های سنتز شده استفاده شد و گاف انرژی نمونه‌ها با رابطه‌های کیوبیک-مانک و تاواک محاسبه گردید.

کلمات کلیدی: نانو ذره، آلومینات روی، سل-ژل اصلاح شده، خواص نوری.

۱. مقدمه

اسپینل‌های اکسید فلزی به سبب دارا بودن مقاومت مکانیکی بالا و پایداری گرمایی و شیمیایی خوب از جمله سرامیک‌هایی هستند که دارای خواص جالب مکانیکی، الکتریکی و نوری قابل توجه می‌باشند. آلومینات روی با فرمول شیمیایی $ZnAl_2O_4$ ، از مهم‌ترین سرامیک‌های اکسیدهای فلزی است، که گاهنیت^۱ هم نامیده می‌شود. این ماده یک نیمرساناً با گاف انرژی در حدود ۳/۸ الکترون ولت است. ساختار آلومینات روی اسپینل نرمال با گروه فضایی FD3M می‌باشد [۱-۲]. یون‌ها Zn^{2+} در مکان‌های چهار ضلعی و یون Al^{3+} مکان‌های هشت ضلعی سلول پایه را اشغال می‌کنند. این ماده برای طول موج‌های بالاتر از ۳۲۰ نانومتر شفاف است. بلورهای مکعبی آلومینات روی کاربردهای وسیعی در زمینه کاتالیست‌ها، سرامیک‌ها، مواد رسانای الکتریکی و نیز در ابزارهای فوتولکtronی دارند [۳].

اسپینل آلومینات روی را می‌توان با اضافه کردن ناخالصی (عناصر واسطه، کمیاب خاکی) و تغییر در گاف انرژی در محدوده‌ی نور مرئی به عنوان یک نانوکاتالیست جهت حذف آلودگی‌های موجود در آب بکار برد. علاوه بر این، به عنوان رنگدانه نیز در صنعت رنگ و پوشاش مورد استفاده قرار می‌گیرد. آلاییدن این ماده با برخی از عناصر فلزی می‌تواند خواص اپتیکی و فتوکاتالیستی آلومینات روی را به نحو

¹ Gahnite



همایش ملی توسعه فناوری نانو

۱۶ اسفند ۱۳۹۶ - دانشگاه آزاد اسلامی واحد علی آباد کتول

National Conference on Nanotechnology Development

مطلوب بهبود بخشد [۴-۵-۶]. روش های متعددی برای سنتز گاهنیت وجود دارد که می توان به روش واکنش حالت جامد^۱ [۱]، هم رسوی^۲ [۸]، سل-ژل^۳ [۶،۴]، هیدروترمال^۴ [۹] و احتراق^۵ [۵] اشاره کرد. از میان این روش ها، سل-ژل به دلیل توانایی در تولید نانو ذراتی با کیفیت بالا و توزیع اندازه ذرات تقریباً یکسان روش نسبتاً ارزانی است که می تواند برای تهیه مقادیر انبوه از نانو ساختارها مورد استفاده قرار گیرد [۴]. در این پژوهش از روش سل-ژل اصلاح شده، روش سبز، (با استفاده از ژلاتین) برای سنتز نانو ذرات استفاده شد و اثر آلاینده کروم بر ویژگی های ساختاری و اپتیکی آلومینات روی بررسی گردید.

۲. روش آزمایش

برای تهیه پودرهای آلومینات روی با فرمول های شیمیایی $Zn_{(1-x)}Cr_xAl_2O_4$ ($x=0/0.5, 0/0.5, 0/0.5$) به روش سل ژل اصلاح شده، با استفاده از ژلاتین، و پیش ماده های نیترات روی $Zn(NO_3)_2 \cdot 6H_2O$ - شرکت مرک) به عنوان منبع روی، نیترات آلومینیم $Al(NO_3)_3 \cdot 9H_2O$ - شرکت مرک) به عنوان منبع تأمین کننده آلومینیم و نیترات کروم $Cr(NO_3)_3 \cdot 9H_2O$ -شرکت مرک) به عنوان منبع ناخالصی کروم استفاده شدند. ژلاتین به عنوان عامل پلیمریزاسیون با نسبت دو به یک (۱:۲) و آب یون زدایی شده به عنوان حلال استفاده شدند.

محلول های آبی نیترات روی، نیترات آلومینیم و نیترات کروم را به محلول آبی ژلاتین (سل) در دمای $60^{\circ}C$ اضافه شد. سپس در مدت ۵ ساعت تحت دمای $80^{\circ}C$ و با هم زدن دائم، محلول به صورت ژل شفاف در آمد. ژل حاصل در کوره با دمای تکلیس $800^{\circ}C$ به مدت ۳ ساعت خشک گردید. نمونه حاصل بعد از تکلیس به خوبی در هاون دستی ساییده و به صورت پودر در آمدند.

۳. نتایج

۱.۳ طرح پراش اشعه ایکس

طرح پراش پرتو X پودرهای آلومینات روی با فرمول شیمیایی $Zn_{(1-x)}Cr_xAl_2O_4$ ($x=0/0.5, 0/0.5, 0/0.5$) در گستره $2\theta = 20-80^{\circ}$ در شکل ۱ آورده شده است. همان طور که طرح های پراش نشان می دهند، تمام نمونه ها دارای ساختار بلوری با قله های پراش یکسان هستند که مربوط به ساختار مکعبی وجه مرکزدار (fcc)، اسپینل آلومینات روی می باشند. قله های پراش با توجه به کد استاندارد (JCPDS ۱۰-۴۳) اندیس گذاری شدند. در طرح پراش هیچ قله اضافی مربوط به فازهای ناخالصی و ناخواسته دیده نمی شود. عدم وجود قله اضافی نمایانگر این است که اتم های کروم به خوبی جایگزین اتم های روی شده اند.

¹ Solid state reaction

² Co-operation

³ Sol-gel

⁴ Hydrothermal

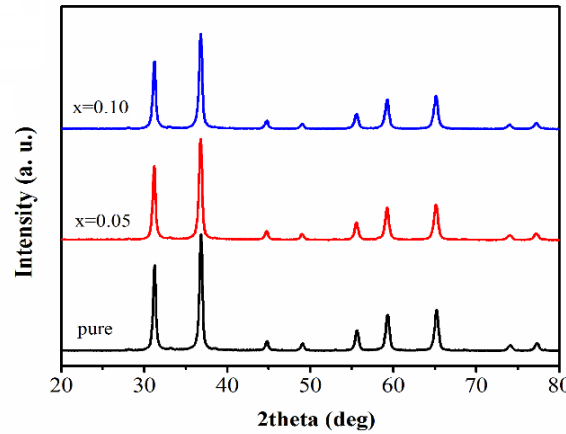
⁵ Combustion



همایش ملی توسعه فناوری نانو

۱۶ اسفند ۱۳۹۶ - دانشگاه آزاد اسلامی واحد علی آباد کتول

National Conference on Nanotechnology Development



شکل ۱: طرح پراش پرتو ایکس نمونه های سنتز شده.

تخمین اندازه بلورک ها با استفاده از فرمول دبای-شرر^۱

اندازه بلورک های نمونه های سنتز شده با استفاده از فرمول دبای-شرر معین شدند، بطوری که:

$$D = \frac{k\lambda}{\beta \cos \theta} \quad (1)$$

که در آن D اندازه نانوبلورک ها برحسب نانومتر، k ثابتی است که به مورفولوژی بلورک ها بستگی دارد که در این پژوهش مقدار آن برابر با $0/9$ در نظر گرفته شده است، λ طول موج پرتو ایکس فرودی (Cu K_α برای $1/5406 \text{ \AA}$)، θ زاویه برگ برحسب درجه و β پهنا در نیم ارتفاع بیشینه برحسب رادیان است.

روش نمودار اندازه-کرنش^۲

در این روش، برای تعیین اندازه بلورک ها و کرنش موجود در شبکه از چند قله پراش استفاده می شود و لذا در مقایسه با روش دبای-شرر، که در آن تنها یک قله به کار گرفته می شود، از دقت بیشتری برخوردار است. در روش SSP، از رابطه ۲ برای محاسبه اندازه بلورک ها و کرنش موجود در شبکه استفاده می شود:

$$(d_{hkl} \beta \cos \theta)^2 = \frac{K}{D} (d_{hkl}^2 \beta \cos \theta) + \left(\frac{\epsilon}{2}\right)^2 \quad (2)$$

در این رابطه β پهنا در نیم ارتفاع (برحسب رادیان)، K مقدار ثابت برابر با $4/3$ است و d_{hkl} فاصله بین صفحات بلوری می باشد. با رسم نمودار $(d_{hkl}^2 \beta \cos \theta)$ بر حسب $(d_{hkl} \beta \cos \theta)^2$ برای تمام قله ها و برازش خطی نقاط، کرنش شبکه با استفاده از عرض از مبدا که برابر با $\left(\frac{\epsilon}{2}\right)^2$ است و اندازه نانوبلورک ها با استفاده از شیب نمودار که برابر با $\frac{K}{D}$ می باشد، تعیین می شوند. شکل ۳ نمودارهای مربوطه را نشان می دهد. خلاصه نتایج حاصل از محاسبه اندازه بلورک ها و کرنش موجود در شبکه برای نمونه های تهیه شده در جدول ۱ آورده شده است. همان طور که در جدول ۱ دیده می شود، با اضافه کردن ناخالصی کروم اندازه ذرات کوچکتر شده است که این می تواند به دلیل کوچکتر بودن شعاع یونی کروم ($0.66 \text{ \AA}/0$) نسبت به شعاع یونی روی ($0.74 \text{ \AA}/0$) باشد.

¹ Debay-shcerre formula

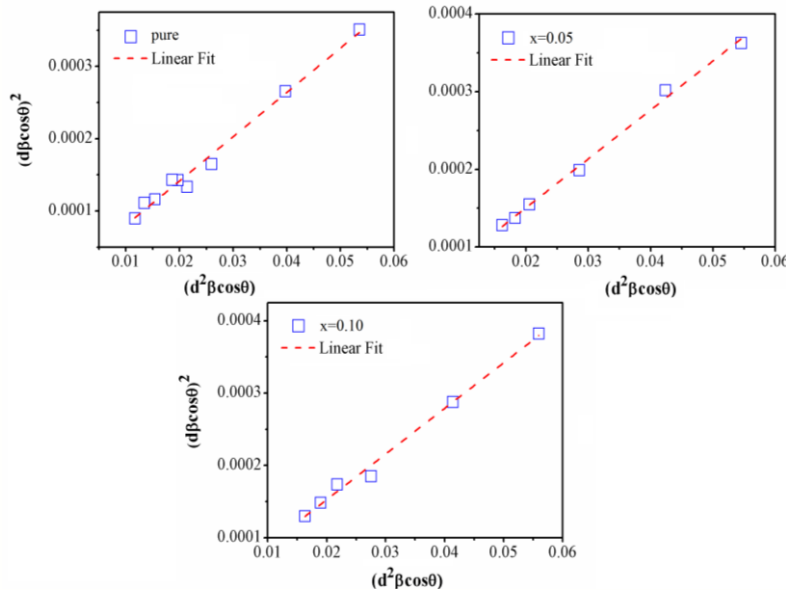
² Size-Strain Plot



همایش ملی توسعه فناوری نانو

۱۶ اسفند ۱۳۹۶ - دانشگاه آزاد اسلامی واحد علی آباد کتول

National Conference on Nanotechnology Development



شکل ۳: نمودارهای اندازه-کرنش نمونه خالص وآلاییده با کروم $Zn_{(1-x)}Cr_xAl_2O_4$.

جدول ۱: اندازه بلورکهای بدست آمده از فرمول شرر و روش اندازه-کرنش در نمونه های سنتز شده.

روش			ترکیب
	نمودار اندازه-کرنش	شرر	
$10^{-5} \times \epsilon$	D(nm)	D(nm)	
۲	۲۱/۸۵	۲۱/۶۵	$ZnAl_2O_4$
۲	۲۱/۱۵	۲۰/۳۴	$Zn_{0.95}Cr_{0.05}Al_2O_4$
۳	۲۱/۱۵	۲۰/۸۲	$Zn_{0.90}Cr_{0.10}Al_2O_4$

2.3 میکروسکوپ الکترونی گسیل میدانی^۱ FEGSEM

در این پژوهش از میکروسکوپ الکترونی گسیل میدانی برای بررسی مورفولوژی و تعیین اندازه ذرات نمونه خالص تهیه شده، استفاده شده است. نمودار هیستوگرام با استفاده از نرم افزارهای SPSS و Image Tools رسم شد. اندازه متوسط نانو ذرات در حدود ۳۹/۷ نانومتر بدست آمد.

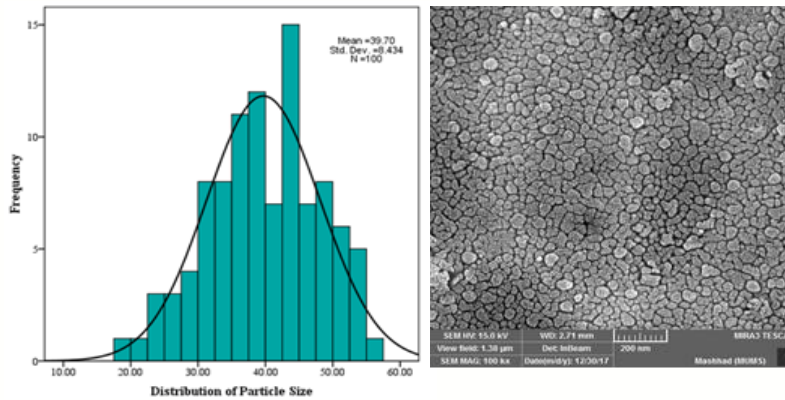
¹ Field Emission Scanning Electron Microscope



همایش ملی توسعه فناوری نانو

۱۶ اسفند ۱۳۹۶ - دانشگاه آزاد اسلامی واحد علی آباد کتول

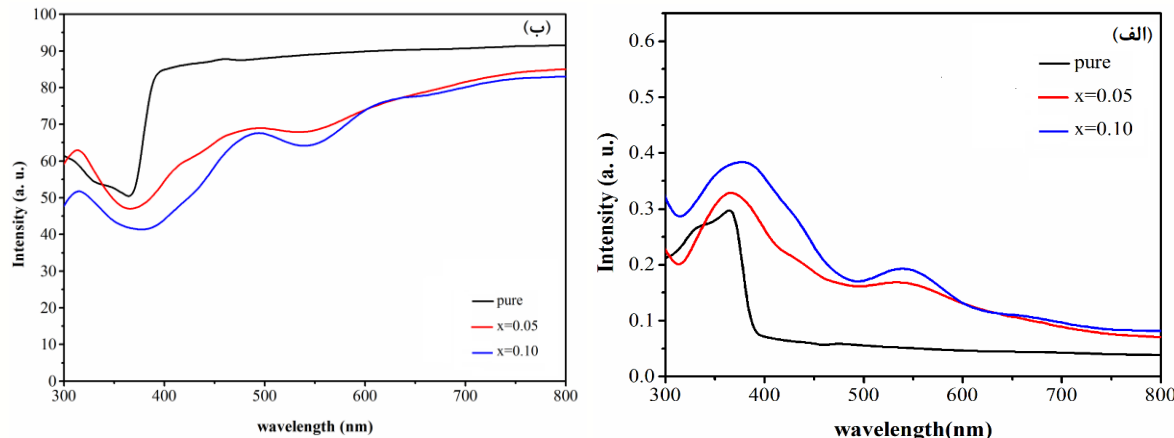
National Conference on Nanotechnology Development



شکل ۴: تصویر FESEM و نمودار هیستوگرام مربوط به نمونه خالص.

۳.۲ خواص اپتیکی

به منظور بررسی ویژگی‌های مربوط به جذب نور نمونه‌های سنتز شده و تعیین گاف‌های نواری (E_g) آن‌ها، از طیف‌سنجی بازتاب پخشی^۱ (DRS) استفاده شد. طیف جذب و بازتاب UV-Vis نانوپودر های سنتز شده در شکل ۵ آورده شده است.



شکل ۵: (الف) طیف جذب و (ب) طیف بازتاب نمونه‌های سنتز شده در دمای ۸۰۰°C.

در طیف جذبی نمونه‌ی خالص آلومینات روی، یک نوار در گستره ۳۶۵-۴۰۰ نانومتر مشاهده می‌شود که قله جذب آن در حدود ۳۶۵ نانومتر می‌باشد که می‌تواند مربوط به گذار الکترون از نوار ظرفیت به نوار رسانش باشد. در نمونه‌های آلاییده شده با کروم نیز یک نوار جذبی در گستره ۳۲۰-۴۵۰ نانومتر با بیشینه‌ای در طول موج ۳۶۶ و ۳۷۰ نانومتر به ترتیب برای نمونه‌های ۰.۱ و ۰.۰۵ درصد آلاییده مشاهده می‌شود. از آنجا که این نوار جذبی در تمام نمونه‌ها موجود است لذا می‌تواند مربوط به ماده میزبان یعنی آلومینات روی باشد. علاوه بر این، یک نوار جذبی با شدت در گستره ۳۲۰-۴۹۰ نانومتر دیده می‌شود می‌تواند مربوط به گذار جذبی ترازهای الکترونی یون کروم Cr^{+3} باشد [7].

¹ Diffuse reflectance spectroscopy



همایش ملی توسعه فناوری نانو

۱۶ اسفند ۱۳۹۶ - دانشگاه آزاد اسلامی واحد علی آباد کتول

National Conference on Nanotechnology Development

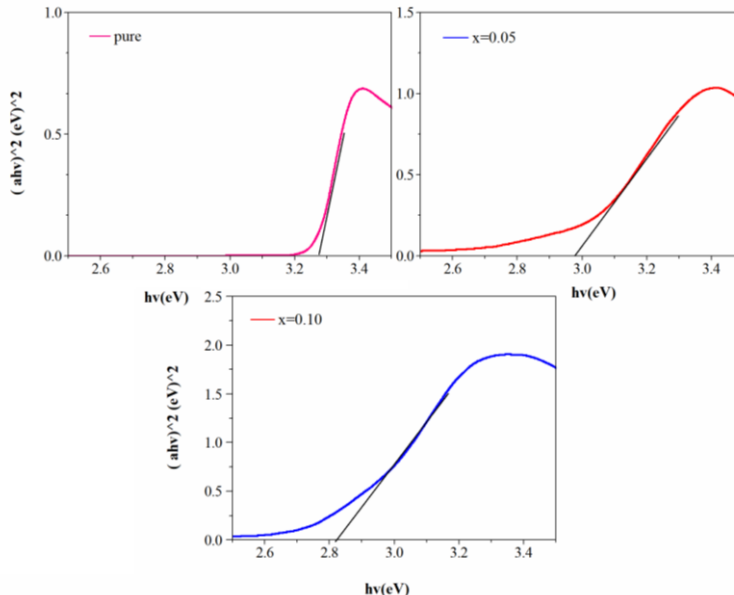
با استفاده از طیف بازتابی در شکل ۵ و با کمک رابطه تاوك^۱ و نیز مدل کیوبلکا-مانک^۲ ضریب جذب محاسبه شد. گاف اپتیکی نمونه های سنتز شده با رسم نمودار $(\alpha h\nu)^n$ بر حسب $h\nu$ با استفاده از رابطه ۳ تعیین می شود:

$$(\alpha h\nu) = B(h\nu - E_g)^{1/n} \quad (3)$$

که α ضریب جذب، انرژی فوتون فروندی، (E_g) گاف اپتیکی، B یک ثابت و $n = 0.5$ (گاف مستقیم) انتخاب شد. ضریب جذب نیز با استفاده از مدل کیوبلکا-مانک بر طبق رابطه زیر محاسبه می شود:

$$\alpha = \frac{(1-R')^2}{2R'} \quad , \quad R' = \frac{R}{100} \quad (4)$$

که در این رابطه R مقدار بازتاب اپتیکی نانوپودرها می باشد. محل تلاقی خط مماس بر نمودار $(\alpha h\nu)^n$ بر حسب $h\nu$ با محور انرژی ، اندازه گاف انرژی را به دست می دهد، شکل ۶.



شکل ۶: نمودارهای $(\alpha h\nu)^n$ بر حسب $h\nu$ برای نمونه های سنتز شده.

همان طور که در نمودارهای شکل ۶ دیده می شود میزان گاف اپتیکی (E_g) نمونه خالص در حدود ۳/۲۷ الکترون ولت و برای نمونه های ۵ و ۱۰ درصد به ترتیب ۲/۹۷ و ۲/۸۵ الکترون ولت بدست می آید. اضافه کردن ناخالصی کروم باعث جابه جایی لبه جذب به سمت طول موج های بزرگتر و کاهش گاف انرژی می شود. که با کارهای گزارش شده دیگران مطابقت خوبی دارد [۷]، [۱۰].

نتیجه گیری

نانوپودرهای $Zn_{(1-x)}Cr_xAl_2O_4$ به روش سل ژل اصلاح شده سنتز و با استفاده از روش های مشخصه یابی UV-Vis, TEM XRD ساختار، مورفولوژی و گاف انرژی اپتیکی نمونه ها مشخص شدند. نتایج XRD نشان دادند که ساختار مکعبی آلومینات روی بدون هیچ

¹ Kubelka-Mank model

²Tauc realation



همایش ملی توسعه فناوری نانو

۱۶ اسفند ۱۳۹۶ - دانشگاه آزاد اسلامی واحد علی آباد کتول

National Conference on Nanotechnology Development

قله اضافی برای تمام نمونه‌ها تشکیل شده است. اندازه بلورک‌ها با دو روش فرمول دبای - شر و روش نمودار اندازه-کرنش محاسبه و در حدود ۲۰-۲۲ نانومتر بدست آمدند. تصویر میکروسکوپ الکترونی گسیل میدانی FESEM نشان داد که متوسط اندازه نانوذرات برای نمونه خالص در حدود ۳۹/۷ نانومتر می‌باشد. گاف اپتیکی مستقیم نمونه‌ها از مدل کیوبلکا-مانک با استفاده از طیف جذبی UV-Vis در حدود ۳/۲۷ تا ۲/۸۵ الکترون ولت محاسبه شد.

مراجع

- [۱] Davar F, Salavati-Niasari M. Synthesis and characterization of spinel-type zinc aluminate nanoparticles by a modified sol-gel method using new precursor. *Journal of Alloys and Compounds*. 2011 Feb 3;509(5):2487-92.
- [۲] Chen L, Sun X, Liu Y, Zhou K, Li Y. Porous ZnAl₂O₄ synthesized by a modified citrate technique. *Journal of alloys and compounds*. 2004 Aug 11;376(1-2):257-61.
- [۳] Menon SG, Hebbar DN, Kulkarni SD, Choudhari KS, Santhosh C. Facile synthesis and luminescence studies of nanocrystalline red emitting Cr ZnAl₂O₄ phosphor. *Materials Research Bulletin*. 2017 Feb 1;86:63-71.
- [۴] Motloung SV, Dejene FB, Swart HC, Ntwaeborwa OM. Effects of Pb²⁺ ions concentration on the structure and PL intensity of Pb-doped ZnAl₂O₄ nanocrystals synthesized using sol-gel process. *Journal of Sol-Gel Science and Technology*. 2014 Jun 1;70(3):422-7.
- [۵] Singh V, Chakradhar RP, Rao JL, Kim DK. Characterization, EPR and luminescence studies of ZnAl₂O₄: Mn phosphors. *Journal of Luminescence*. 2008 Mar 1;128(3):394-402.
- [۶] Duan X, Yuan D, Sun Z, Luan C, Pan D, Xu D, Lv M. Preparation of Co²⁺-doped ZnAl₂O₄ nanoparticles by citrate sol-gel method. *Journal of alloys and compounds*. 2005 Jan 11;386(1-2):311-4.
- [۷] Miron I, Grozescu I. Hydrothermal synthesis of ZnAl₂O₄: Cr³⁺ nanocrystals. *Optoelectronics And Advanced Materials-Rapid Communications*. 2012 May 1;6(5-6):673-5.
- [۸] Battiston S, Rigo C, Severo ED, Mazutti MA, Kuhn RC, Gündel A, Foletto EL. Synthesis of zinc aluminate (ZnAl₂O₄) spinel and its application as photocatalyst. *Materials Research*. 2014 Jun;17(3):734-8.
- [۹] Chen XY, Ma C, Zhang ZJ, Wang BN. Ultrafine gahnite (ZnAl₂O₄) nanocrystals: Hydrothermal synthesis and photoluminescent properties. *Materials Science and Engineering: B*. 2008 Jul 25;151(3):224-30.
- [۱۰] Wang SF, Sun GZ, Fang LM, Lei L, Xiang X, Zu XT. A comparative study of ZnAl₂O₄ nanoparticles synthesized from different aluminum salts for use as fluorescence materials. *Scientific reports*. 2015 Aug 4;5:12849.